

# 大強度ハドロン線形加速器の 基本的な物理設計方針

岡本 宏己

広島大学 大学院先進理工系科学研究科

# 加速器中の荷電粒子運動

- ビーム構成粒子は線形力（四重極場あるいはソレノイド磁場）によって収束されている。
- 結果として、各粒子は設計軌道の周りで振動する：

$$\frac{d^2x}{ds^2} + K_x(s)x = 0$$

ビームの進行方向自由度にも大雑把には  
同様の線形収束力が用意されている。

独立変数  $s$  は軌道長、 $K_x(s)$  は収束要素の配置によって決まる関数である。

- この振動の（単位収束構造当たりの）振動数を“チューン”と称する。ビームの密度が高い場合、粒子間クーロン斥力の影響でチューンが設計値からシフトする。
- ビームの収束は特定の単位収束構造を繰り返して達成する場合が多い；要するに、上式中の  $K_x(s)$  は  $s$  の周期関数である。

# 基礎方程式

- ハミルトニアン

$$H = \frac{p_x^2 + p_y^2 + p_z^2}{2} + V_Q + \cancel{\alpha V} + I_{sc}\phi$$

$V_Q = \frac{1}{2}K_x(s)x^2 + \frac{1}{2}K_y(s)y^2 + \frac{1}{2}K_z(s)z^2$

各種コンポーネントが含む誤差や  
補正電磁石等による非線形場

$1/\beta^2\gamma^3$  に比例！

- ポアソン方程式

$$\nabla^2\phi = -\frac{q}{\varepsilon_0} \iiint f(x, y, z, p_x, p_y, p_z; s) dp_x dp_y dp_z$$

- ブラソフ方程式

$$\frac{\partial f}{\partial s} + [f, H] = 0$$

IBSは無視

解析的に解くのはまず不可能なので、定常  
状態（設計ラティスに整合したビーム）の  
摂動に対する安定性を調べる

任意の初期位相空間分布  $f$  から出発して、これらの方程式系を自己無撞着に解ければ、  
(通常のハドロンビームにおける) あらゆる空間電荷効果が正確に予言できる！

# ビーム不安定化の 発生条件

クーロン自己場あるいは  
外場が駆動する“共鳴”である

# 共鳴条件（单粒子）

- 非結合共鳴

$$m\sigma_{x(y)} = n360^\circ$$

( $m$  と  $n$  はいずれも正の整数)

$m$  次の共鳴はチューンが  $1/m$  の自然数倍の時に発生

- 結合共鳴

$$k\sigma_x + \ell\sigma_y = n360^\circ$$

( $k$  と  $\ell$  は整数)

共鳴の次数は  $m = |k| + |\ell|$

差共鳴の場合は二自由度間で射影エミッタノスの交換が起こる

# 共鳴条件（单粒子）

- 非結合共鳴

$$m\sigma_{x(y)} = n360^\circ$$

$\sigma$ は“tune”に360度を乗じたもので“**phase advance**”と呼ばれる。  
線形加速器業界ではtuneよりもphase advanceのほうが慣習的に用いられている。

- 結合共鳴

$$k\sigma_x + \ell\sigma_y = n360^\circ$$

和共鳴  $k\ell > 0$  ; 差共鳴  $k\ell < 0$

共鳴の次数は  $m = |k| + |\ell|$

差共鳴の場合は二自由度間で射影エミッタנסの交換が起こる

# 共鳴条件（含自己場効果）

一次元シートビーム模型に基づくブラソフ理論の予言を拡張した仮説

- ビームコア

**m**次集団共鳴条件

Phys. Rev. AB **24**, 084201 (2021)

$$n_{\perp}\sigma_{\perp}[1 - C_m(1 - \eta_{\perp})] + n_{\parallel}\sigma_{\parallel}[1 - C_m(1 - \eta_{\parallel})] = n180^{\circ}$$

*n* が偶数の共鳴は外部ポテンシャル（誤差磁場など）で駆動可能！

- ビームテール（ハロー領域）

$$2n_{\perp}(\sigma_{\perp} - \Delta\sigma_{\perp}) + 2n_{\parallel}(\sigma_{\parallel} - \Delta\sigma_{\parallel}) = n360^{\circ}$$

- \* ハロー粒子の共鳴はビームコア全体の空間電荷ポテンシャルによって駆動される。
- \* 粒子間クーロン結合が弱いため、共鳴不安定性はほぼインコヒーレントに発展する。
- \* ハロー領域のインコヒーレント・チューンシフト  $\Delta\sigma$  は二乗平均値よりも小さい。
- \* 共鳴次数は近接する集団共鳴帶（コア共鳴）の2倍、即ち  $2m$  である。

# 多粒子シミュレーション

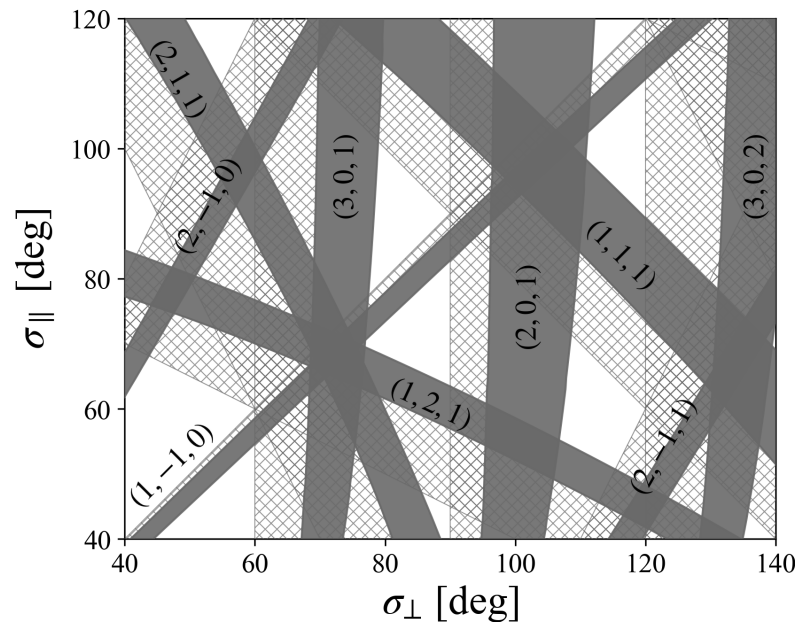
PICシミュレーションが主流  
(分子動力学計算が必要な場合もある)

Prog. Theor. Exp. Phys. **2024**, 073G01.

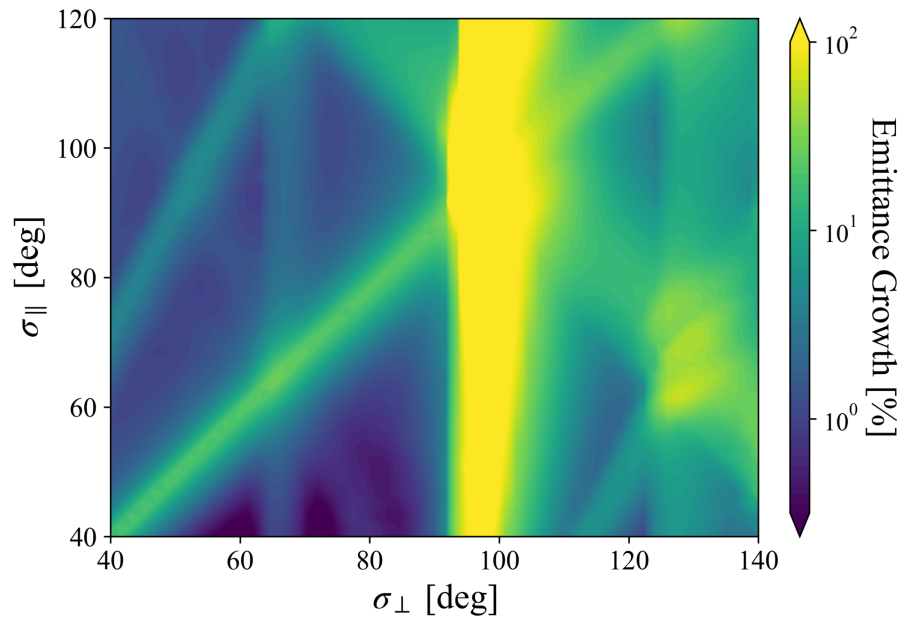
# 安定領域図 (stopband diagram)

ビーム強度とエミッタансを固定 [ $\eta_{\perp} = 0.8$  at (50 deg, 25 deg)]  
PIC計算 : FODO lattice (100 periods)

- 集団共鳴理論



- PICシミュレーション



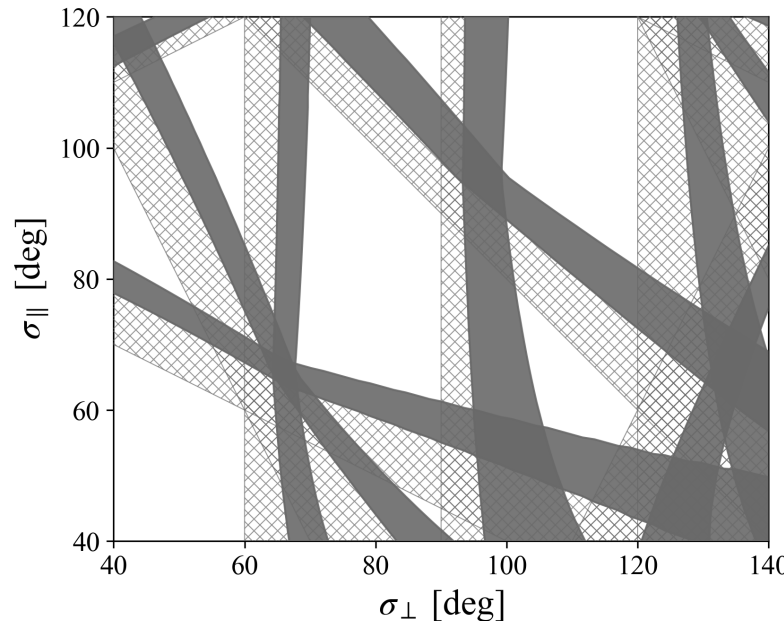
Phys. Rev. AB **25**, 054201 (2022); **27**, 054201 (2024).

# 安定領域図 (stopband diagram)

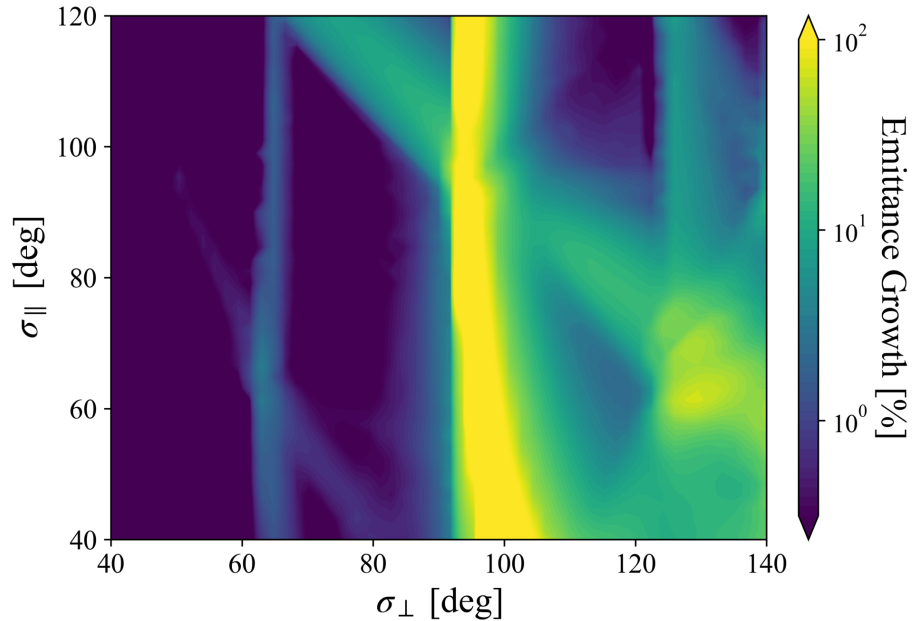
熱平衡 (ビーム強度は前の例と同じ)  
PIC計算 : FODO lattice (100 periods)

$$\text{熱平衡条件 : } \frac{\varepsilon_{\parallel}}{\varepsilon_{\perp}} = \frac{\eta_{\perp}\sigma_{\perp}}{\eta_{\parallel}\sigma_{\parallel}}$$

- 集団共鳴理論



- PICシミュレーション

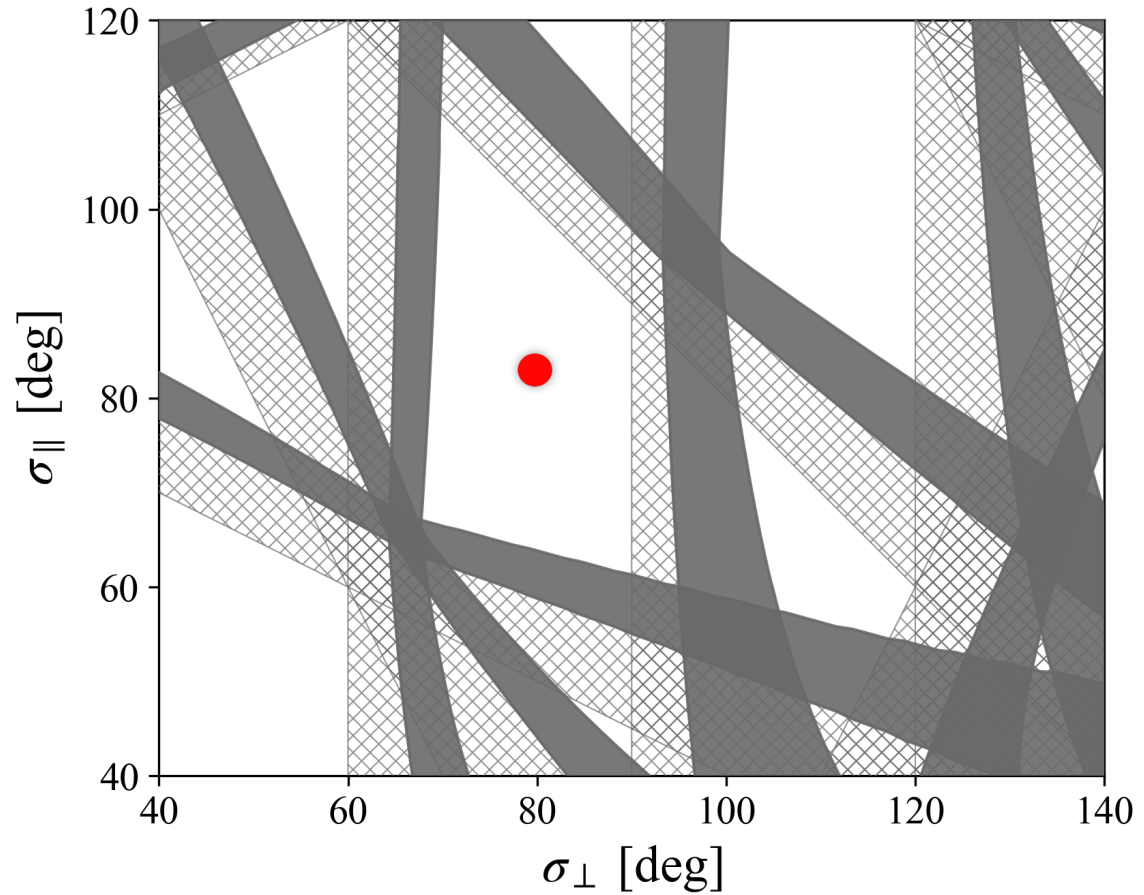


Phys. Rev. AB 25, 054201 (2022); 27, 054201 (2024).

# ビームのクオリティを維持するには...

十分広い安定領域の内側  
に動作点（チューンの設  
計値）を置けばよい！

例えば...



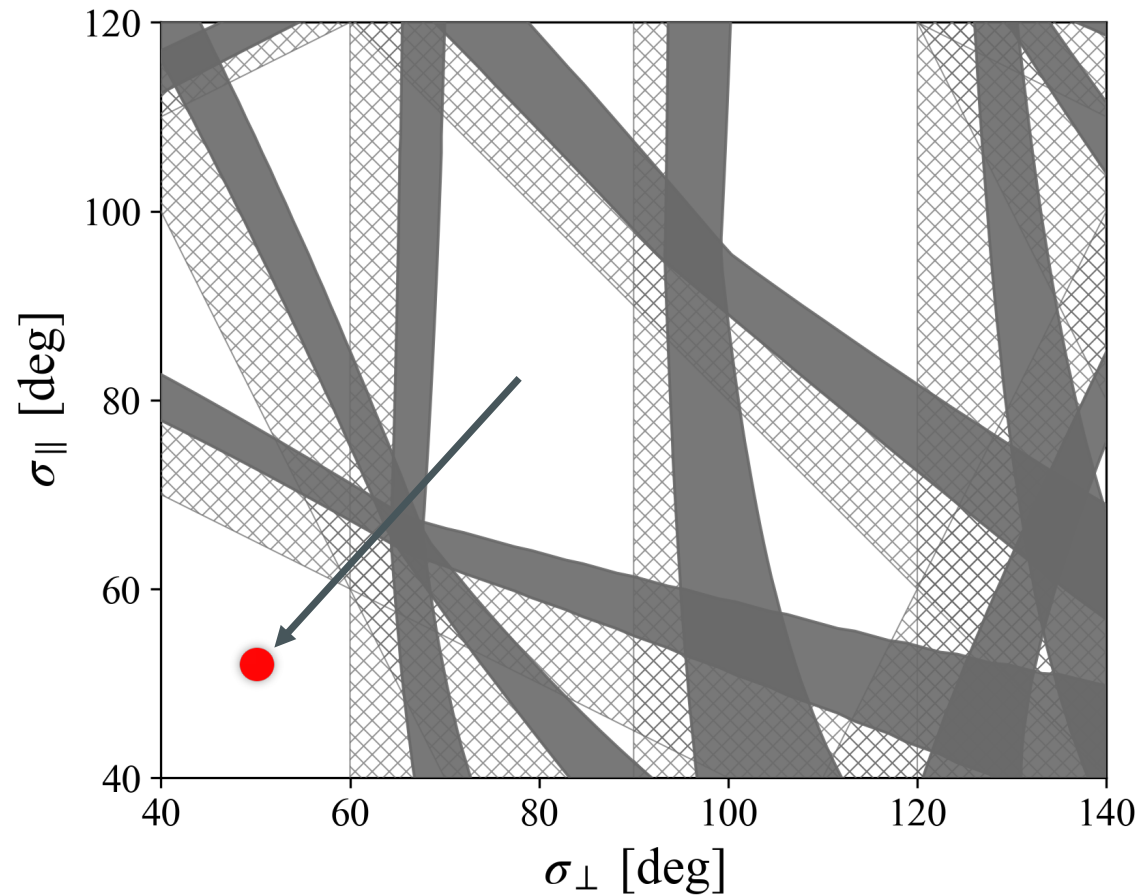
# ビームのクオリティを維持するには...

十分広い安定領域の内側に動作点（チューンの設計値）を置けばよい！

例えば...

ところが、線形加速器では、ビームエネルギーの増加に伴って動作点が大きく動く！

その結果、いくつかの共鳴帯を横切ってしまう...



# DTL 加速シミュレーション

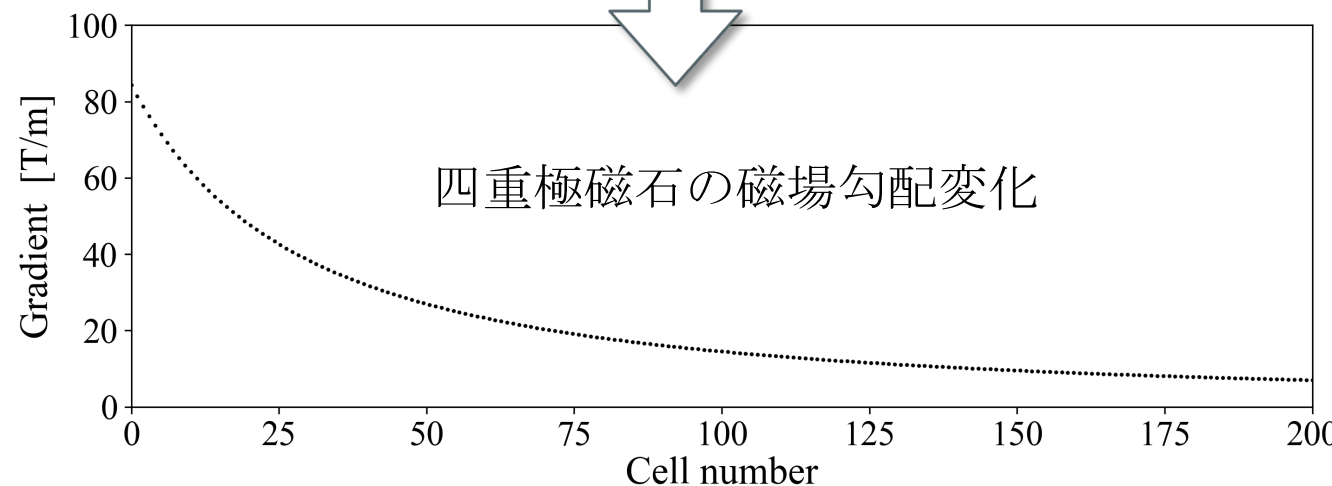
加速構造	アルバレ型 DTL
加速粒子	H <sup>-</sup>
ピーク電流	50 mA
運転周波数	324 MHz
入射エネルギー	3 MeV
セル数	200
単位収束構造	FODO
四重極磁石の初期長	40 mm
ボア半径	8 mm
加速位相	-30 deg.
平均加速勾配	2.7 MV/m
規格化二乗平均エミッタンス（横方向）	$0.3 \pi \text{ mm} \cdot \text{mrad}$

# 計算結果（例 1）

基本設計方針  $\eta_{\perp}\sigma_{\perp}/\eta_{\parallel}\sigma_{\parallel} \approx \text{const.}$

入射時の規格化二乗平均エミッタンス :  $(\varepsilon_{\perp}, \varepsilon_{\parallel}) = (0.3, 0.4) [\pi \text{mm} \cdot \text{mrad}]$

$$\frac{\eta_{\perp}\sigma_{\perp}}{\eta_{\parallel}\sigma_{\parallel}} = \frac{\varepsilon_{\parallel}}{\varepsilon_{\perp}} = \frac{0.4}{0.3} \text{ の場合、熱平衡 !}$$

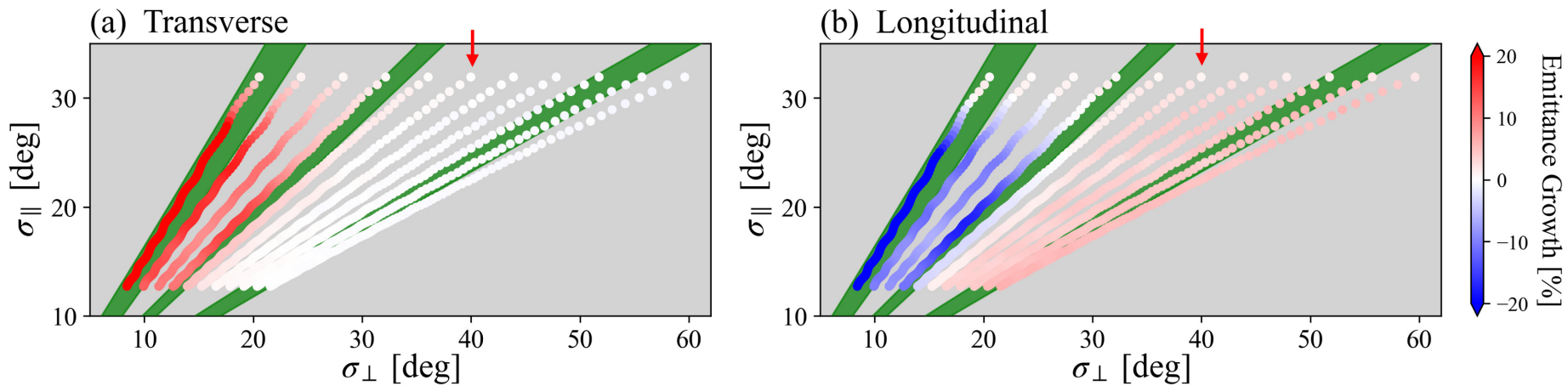


# 計算結果（例 1）

基本設計方針  $\eta_{\perp}\sigma_{\perp}/\eta_{\parallel}\sigma_{\parallel} \approx \text{const.}$

入射時の規格化二乗平均エミッタンス :  $(\varepsilon_{\perp}, \varepsilon_{\parallel}) = (0.3, 0.4)[\pi\text{mm} \cdot \text{mrad}]$

$$\frac{\eta_{\perp}\sigma_{\perp}}{\eta_{\parallel}\sigma_{\parallel}} = \frac{\varepsilon_{\parallel}}{\varepsilon_{\perp}} = \frac{0.4}{0.3} \text{ の場合、熱平衡 !}$$



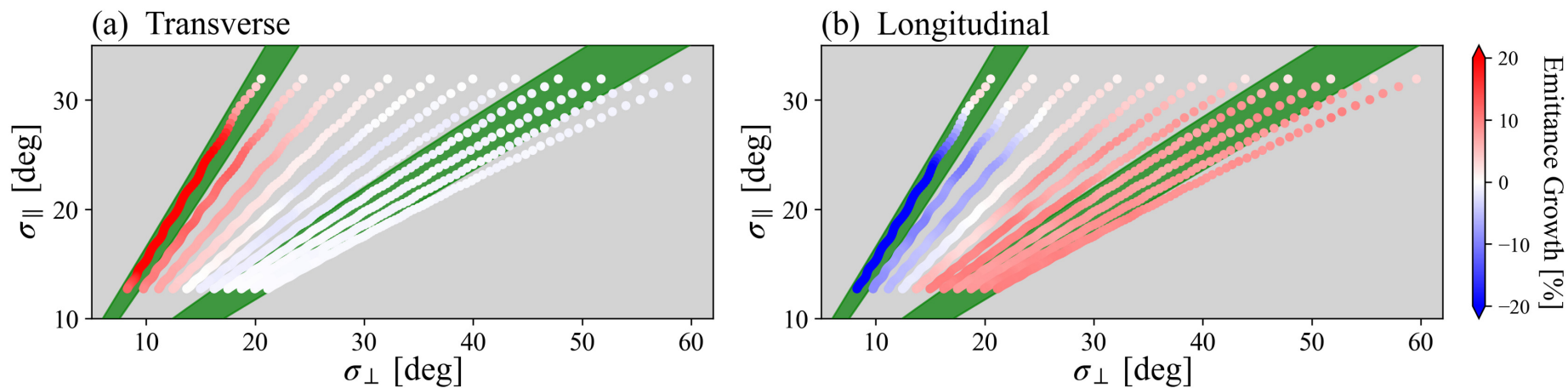
# 計算結果（例 2）

基本設計方針  $\eta_{\perp}\sigma_{\perp}/\eta_{\parallel}\sigma_{\parallel} \approx \text{const.}$

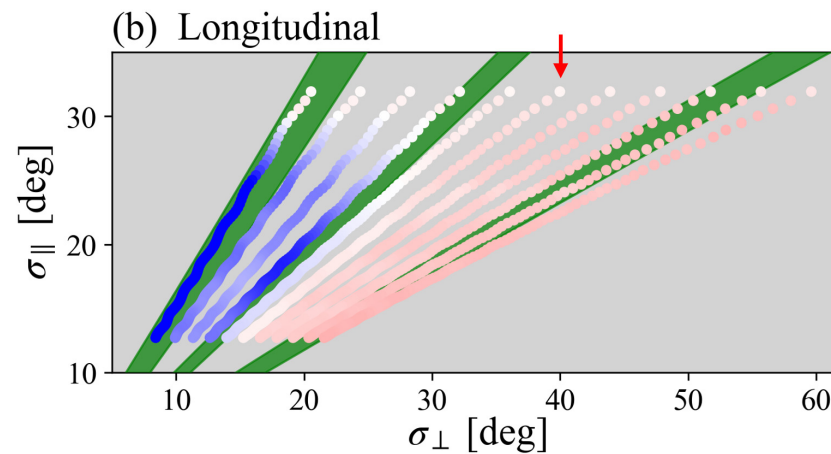
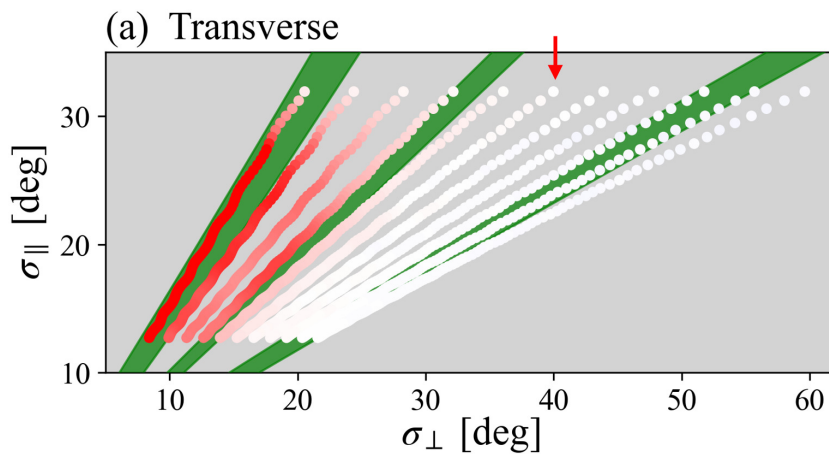
入射時の規格化二乗平均エミッタンス： $(\varepsilon_{\perp}, \varepsilon_{\parallel}) = (0.3, 0.3)[\pi\text{mm} \cdot \text{mrad}]$



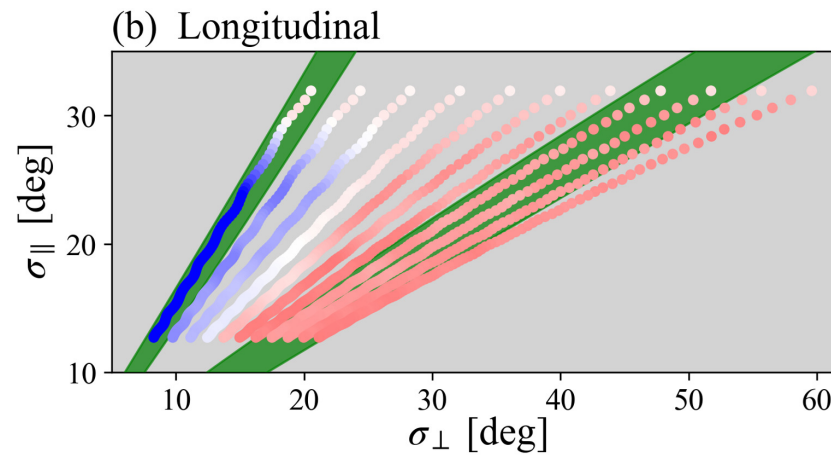
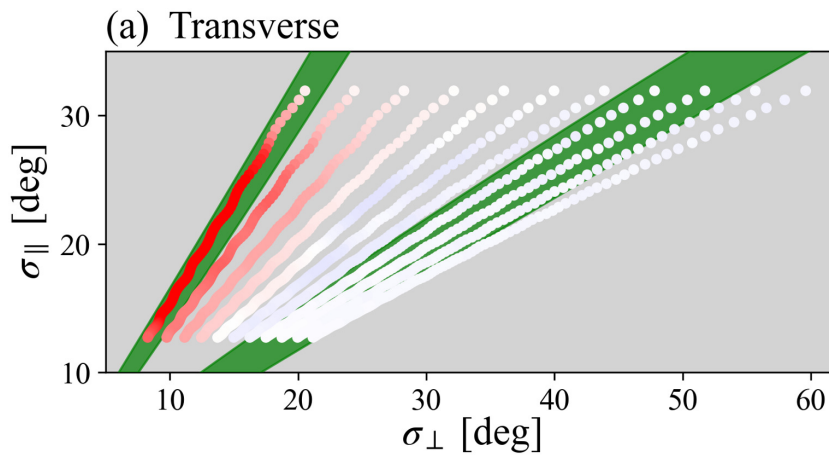
$$\varepsilon_{\parallel} = 0.3\pi\text{mm} \cdot \text{mrad}$$



# 計算結果（例 2）



$$\varepsilon_{\parallel} = 0.3\pi \text{mm} \cdot \text{mrad}$$



# ビームハロー形成

加速器に入射されるビームの位相空間粒子分布が理想から大きくズレている場合に発生

Prog. Theor. Exp. Phys. **2025**, 033G01.

# ビームハローとは

大多数の粒子が密集するビーム中心核の  
周囲に広がる、比較的低密度の粒子雲

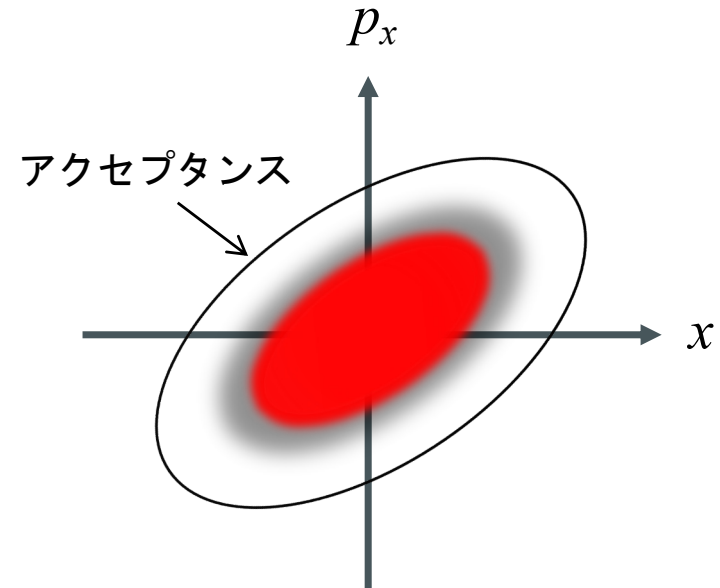
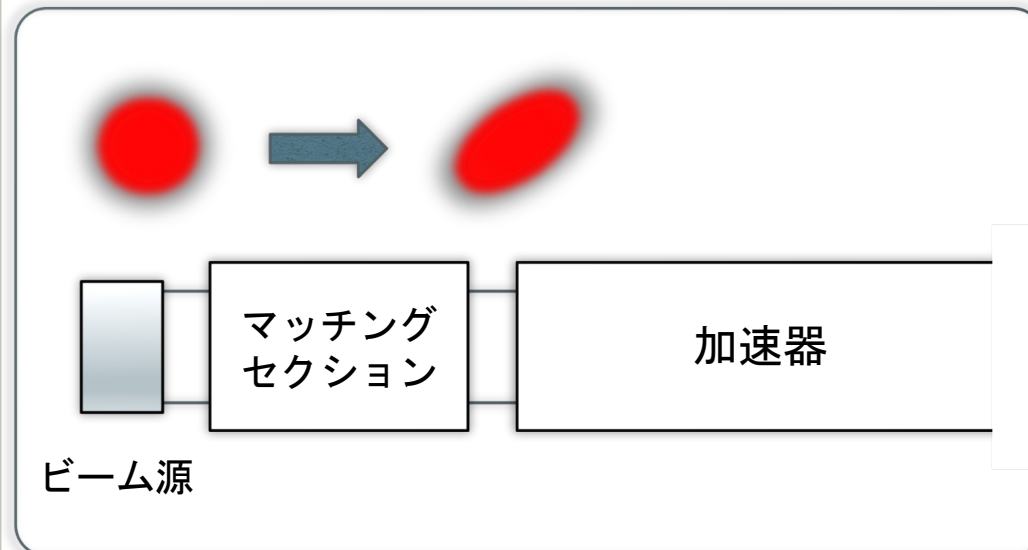
- エミッタنسが増大する（ビームクオリティの劣化）
- 振幅が大きいため、周囲の壁に衝突して失われる（ビーム強度の低下）
- ビームエネルギーが高い場合、加速器の各種コンポーネントにダメージを与える（加速器全体の放射化）
- 完全に除去するのは難しい…

ハロー

コア

ビーム断面

# ラティスに整合したビーム



加速器とビーム源（あるいは前段加速器）の間に“マッチングセクション”を設け、加速器入り口で要求される位相空間形状にビーム構成粒子の分布を整合する。

マッチングセクションには通常、磁場勾配可変な数個の四重極磁石が並べられている。

$$2J_x = \beta_x p_x^2 + 2\alpha_x x p_x + \gamma_x x^2$$

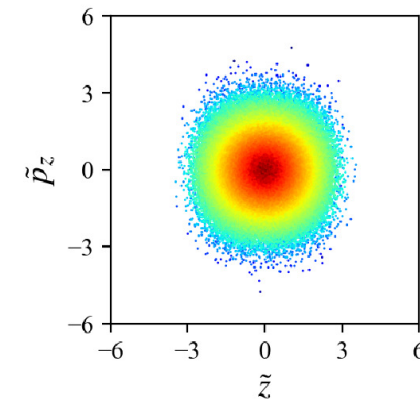
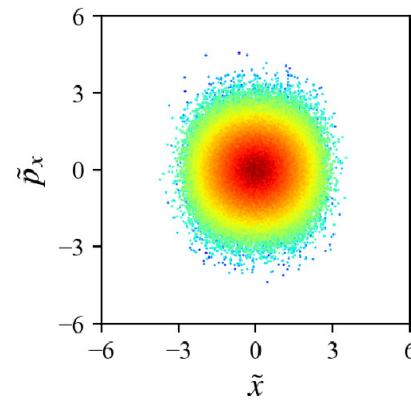
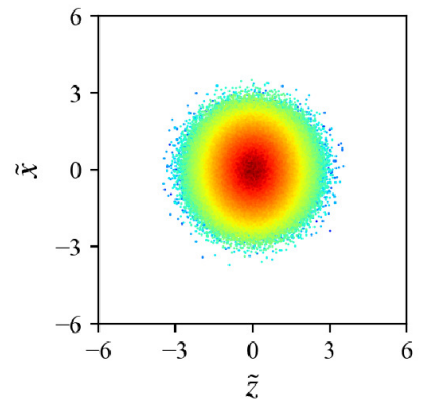
$(\alpha_x, \beta_x, \gamma_x)$ : Courant-Snyder functions

クーロン相互作用がなければ、 $J_x$  はこの力学系の保存量（作用）で、エミッタanceそのものである。

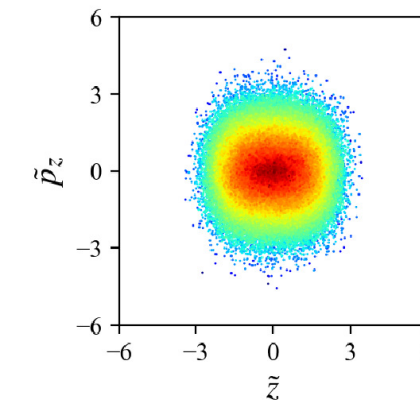
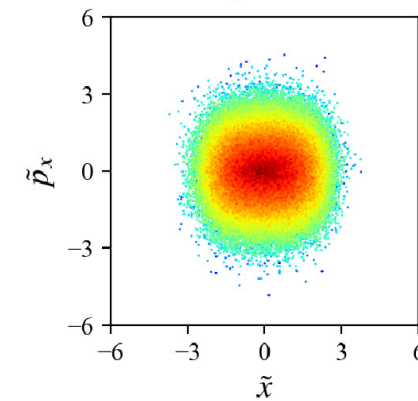
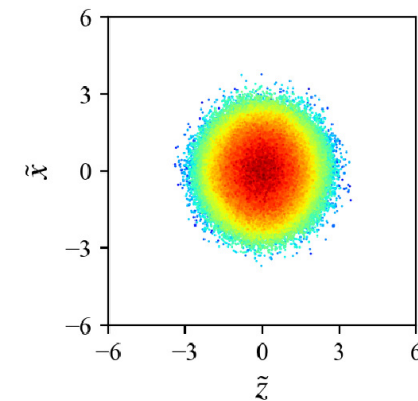
# 整合ビームの輸送

整合ビーム

$\eta_{\perp} = \eta_{\parallel} = 0.7, \varepsilon_{\parallel}/\varepsilon_{\perp} = 2.0$



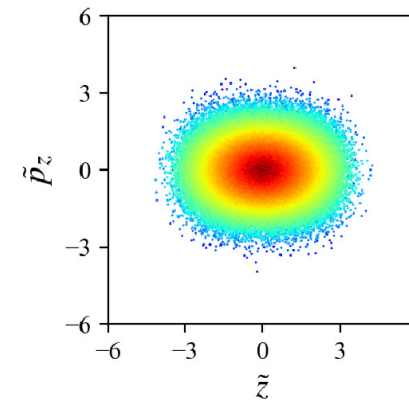
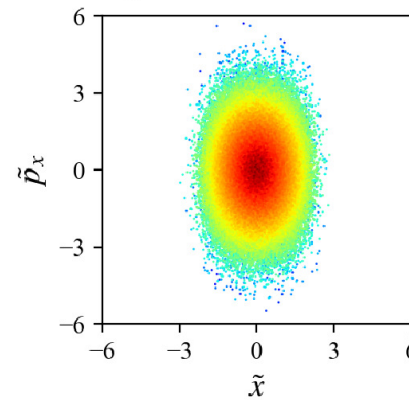
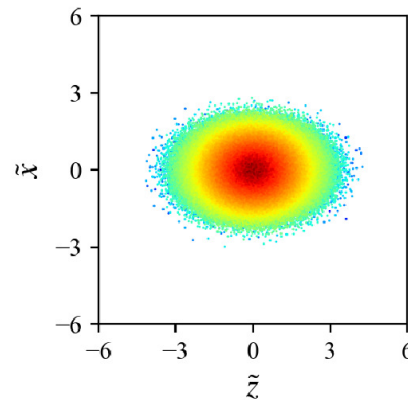
200 m 輸送後



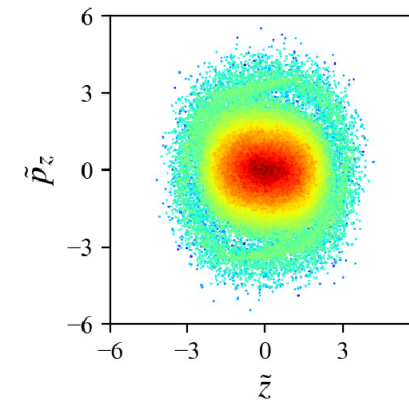
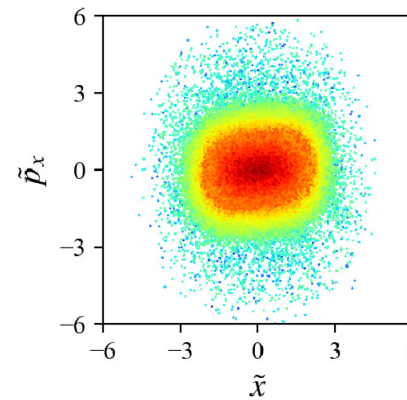
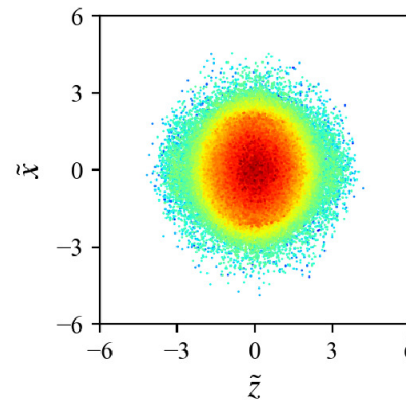
# 不整合ビームの輸送

不整合ビーム

(不整合率 : 20 % )



200 m 輸送後



# 基礎設計上の留意点

- リニアック入り口での二乗平均チューン降下率 (rms tune depression :  $\eta$ ) は？
- 設計軌道付近におけるソレノイド磁場の一様性は？（結局、加速電場を通じて、断面方向にも同じ周期性が現れるはず）
- ソレノイド収束なので、脈動モードが励起される（共鳴帯の分布が四重極収束の場合と違う）？
- Phase advance の設計値（入射から出力までの変化）は？磁場強度を変えて、phase advanceを制御するのか？
- 予想される非線形成分の強さは？
- 入射ビームのラティスに対する整合性は？